

Full body teleportation system

Celotelový teleportačný systém

<https://patents.google.com/patent/US20060071122A1/en>

popis

STRUČNÉ ZHRNUTIE VYNÁLEZU

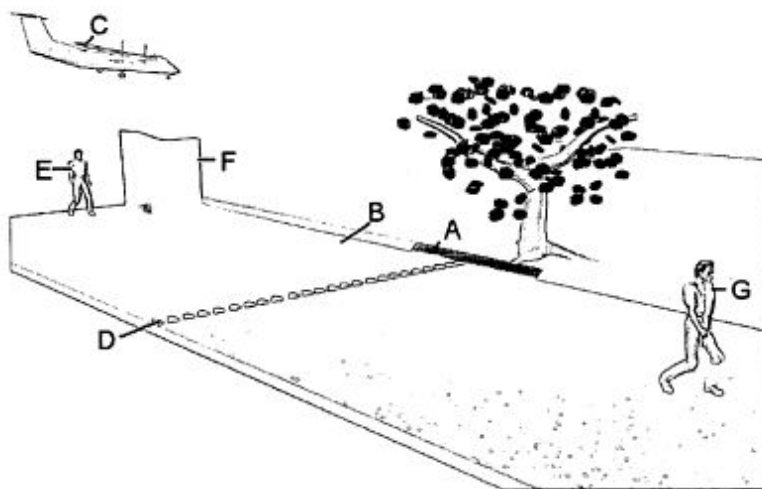
[0001]

Tento vynález je a systém ktorá teleportuje človeka cez hyperpriestor z jedného miesta na druhé pomocou pulznej gravitačnej vlny, ktorá prechádza hyperprostorom.

POZADIE VYNÁLEZU

[0002]

Základom tohto vynálezu je udalosť Obr. 1, ku ktorému došlo 2. mája 2004, v ktorom vynálezca („on“) osobne zažil a plne-telo teleportácie pri chôdzi na autobusovú zastávku (A) pozdĺž cesty (B), ktorá vedie kolmo na pristávacie dráhy pre komerčné letiská, na ktorých pristávajú lietadlá.



K dispozícii je široká železná mriežka (D) na odtok vody, ktorá prechádza cez cestu v strede autobusovej zastávky. Šírka mriežky je taká, že človek musí vyvinúť spoločné úsilie, aby cez ne skočil, aby sa dostal z jednej strany na druhú. Približne 50 metrov od železnej mriežky cítil (E) zvislú vlnu (F), podobnú vlajke mávajúcej vo vetre, ktorá kráčala po ulici smerom k autobusovej zastávke. Vlnová rýchlosť bola asi 1 meter za sekundu, čo bolo o niečo

rýchlejšie ako jeho rýchlosť chôdze. V nasledujúcom prípade sa (G) ocitol na ulici blízko rohu nasledujúceho bloku. Uvedomujúc si, že prešiel autobusovou zastávkou, Otočil sa, aby uvidel železnú mriežku približne 50 metrov po ulici za ním.

Pretože si nevzpomínam, že skočil cez železnú mriežku, ani že prešiel cez žltú značku autobusovej zastávky, uvedomil si, že bol teleportovaný vo vzdialenosti 100 metrov, zatiaľ čo sa pohyboval spolu s pohybujúcou sa vlnou. Bolo zrejmé, že vlna bola pulzovaná, pretože predná hrana prebehla vynálezcu, pohybovala sa s ním na chvíľu a potom ho zadná hrana vlny opustila, keď sa pohybovala po ulici. Keď uvažoval o tomto slede udalostí, potom sa pozrel hore a videl v rozpätí niekoľkých sekúnd dvojmotorové turbortuľové lietadlo (C) v diaľkovom križovatke nad cestou, zatiaľ čo urobil plytký zostup, aby pristál na letisku.

Pretože si nevzpomínam, že skočil cez železnú mriežku, ani že prešiel cez žltú značku autobusovej zastávky, uvedomil si, že bol teleportovaný vo vzdialenosti 100 metrov, zatiaľ čo sa pohyboval spolu s pohybujúcou sa vlnou. Bolo zrejmé, že vlna bola pulzovaná, pretože predná hrana prebehla vynálezcu, pohybovala sa s ním na chvíľu a potom ho zadná hrana vlny opustila, keď sa pohybovala po ulici. Keď uvažoval o tomto slede udalostí, potom sa pozrel hore a videl v rozpätí niekoľkých sekúnd dvojmotorové turbortuľové lietadlo (C) v diaľkovom križovatke nad cestou, zatiaľ čo urobil plytký zostup, aby pristál na letisku.

Pretože si nevzpomínam, že skočil cez železnú mriežku, ani že prešiel cez žltú značku autobusovej zastávky, uvedomil si, že bol teleportovaný vo vzdialenosti 100 metrov, zatiaľ čo sa pohyboval spolu s pohybujúcou sa vlnou. Bolo zrejmé, že vlna bola pulzovaná, pretože predná hrana prebehla vynálezcu, pohybovala sa s ním na chvíľu a potom ho zadná hrana vlny opustila, keď sa pohybovala po ulici. Keď uvažoval o tomto slede udalostí, potom sa pozrel hore a videl v rozpätí niekoľkých sekúnd dvojmotorové turbortuľové lietadlo (C) v diaľkovom križovatke nad cestou, zatiaľ čo urobil plytký zostup, aby pristál na letisku. Bolo zrejmé, že vlna bola pulzovaná, pretože predná hrana prebehla vynálezcu, pohybovala sa s ním na chvíľu a potom ho zadná hrana

vlny opustila, keď sa pohybovala po ulici. Keď uvažoval o tomto slede udalostí, potom sa pozrel hore a videl v rozpätí niekoľkých sekúnd dvojmotorové turbovrtuľové lietadlo (C) v diaľkovom križovatke nad cestou, zatiaľ čo urobil plytký zostup, aby pristál na letisku.

[0003]

Pochopenie tohto sledu udalostí trvalo niekoľko dní. Vysvetlenie zahŕňa znalosť širokého spektra predmetov, ako je napríklad gravitačná fyzika, hyperpriestorová fyzika, elektromagnetická teória a experimenty s červami dier, kvantová fyzika a povaha ľudského energetického poľa.

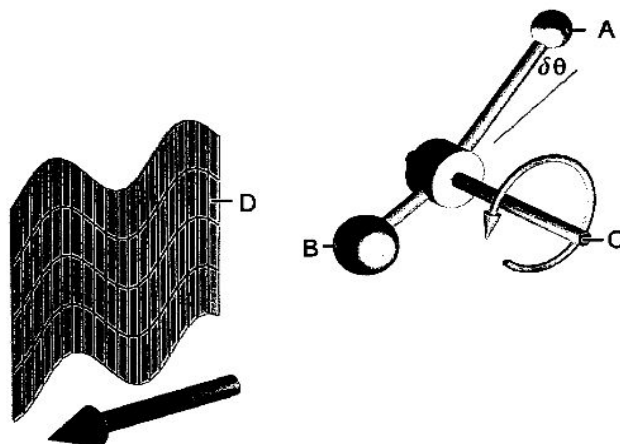
[0004]

Z vyššie uvedeného scenára je zrejmé, že krátkodobý prechod lietadla kolmo na cestu vytvára vyššie uvedený impulz. Pretože letún má na každom krídle motor, existujú dve vrtule, ktoré sa navzájom otáčajú mimo fázy. To znamená, že čepeľ jednej vrtule by mohla smerovať nahor a ekvivalentná čepeľ druhého motora by mohla smerovať mierne odlišným smerom. Všimnite si, že špička čepele sleduje, ako lietadlo pristáva, špirálu.

[0005]

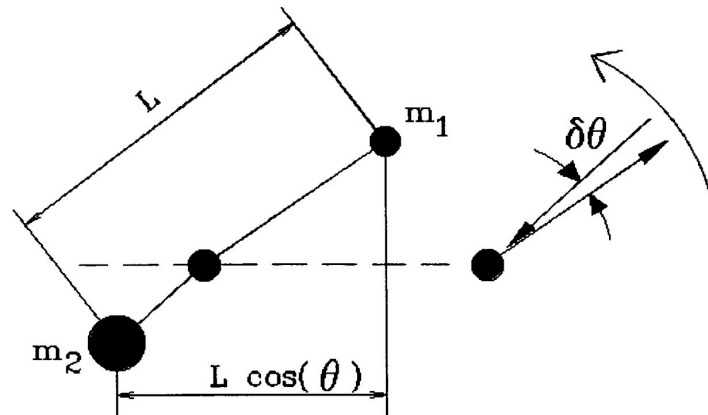
V gravitačnej fyzike s odkazom na Obr. 2 je známe, že dve hmotnosti m_1 a m_2 (A, B) pripevnené ramenami páky mierne posunuté o uhol δ pozdĺž radiálneho smeru k rotujúcemu hriadeľu (C), spôsobia gravitačnú vlnu (D), ktorá sa pohybuje kolmo na hriadeľ.

Figure 2



Hmota a vlna sa označujú ako zdroj resp. Receptor. Vzťahuje sa na bočný pohľad pozdĺž hriadeľa Obr. 3,

Figure 3



Produkt z \$m\$ krát sériovo je uhlové zrýchlenie a je konštanta taká, že \$m_1 \omega\$ je rovné \$m_2 \omega\$. Vzďalenosť medzi hmotami je dĺžka \$L\$, ktorá zvierá uhol \$\theta\$ s horizontálnou osou. Rozdiel v čase cesty k receptoru vedie k rozdielu vo fáze \$\delta\$, ktorá sa rovná uhlovej rýchlosti čo rotačného hriadeľa násobku dĺžky \$L\$ násobku kosínu uhla \$\theta = L \omega \cos(\theta)\$.

[0006]

Na receptore je amplitúda vlny rovná hmotnostnému násobku zrýchlenia a fázovému rozdielu delenému polomerom \$r\$ k receptoru.

$$A = \frac{m_1 a_1}{r} \delta\theta \approx \left(\frac{m \omega L \sin(\theta)}{r} \right) (\omega L \cos(\theta)) = \frac{m \omega^2 L^2 \sin(2\theta)}{r}$$

Aj keď motory turbovrtuľových letúnov majú vysokú rotačnú rýchlosť a veľkú vzdialenosť medzi hmotami, gravitačná vlna, ktorá sa vytvára, je malá a nevšimla sa.

Problém je v tom, že gravitačná konštanta G v tejto dimenzii má tak malú hodnotu, ktorá sa rovná rýchlosti svetla c na druhú delenú lineárnou hmotnosťou Ω vesmíru.

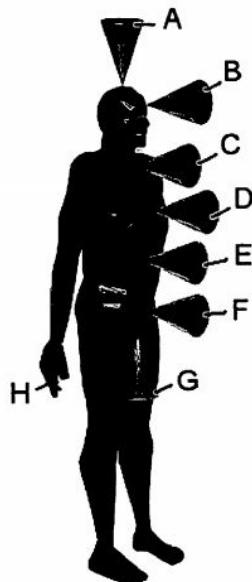
$$G = \frac{c^2}{\Omega} = \frac{(299792458 \text{ m/s})^2}{1.346812891 \cdot 10^{27} \text{ kg/m}} = 6.673200002 \cdot 10^{-11} \frac{\text{m}^3}{\text{kgs}^2}$$

[0007]

Na druhej strane by gravitačné vlny cestujúce v hyperpriestore boli značne zväčšené kvôli tvári, že lineárna hmotnosť je tak malá. Veľkosť gravitačnej konštanty v hyperpriestore sa dá odhadnúť nasledujúcim spôsobom. Začiatkom 20. storočia zomierali rodičia na tuberkulózu. S ich súhlasom ich umiestnil a ich postele na váhy. Keď každý zomrel, každá stupnica zaznamenala pokles hmotnosti rovnajúci sa 0,071 kilogramu. Toto je množstvo hyperprostorovej energie, ktorá sídli vo fyzickom tele, Pretože hyperpriestor je ko-dimenzionálny s našou dimenziou, energia prechádzajúca telom a riadi jeho pohyb.

[0008]

Odkazujúc na Obr. 4 ľudská bytosť má sedem vírov (A až G), ktoré sú usporiadané pozdĺž stredovej čiary **telo**, Každý vír je vlastne kogravitačné pole K, ktoré spôsobuje, že kyvadlo umiestnené v poli sa točí v kruhoch.



Z tohto dôvodu má pole K jednotky inverzných sekúnd podobné uhlovej rýchlosti. Vír prenáša energiu z našej dimenzie na energiu nachádzajúcu sa v hyperpriestore. Gravitačné pole g a kogravitačné pole K sú gravitačné ekvivalentné s elektrickým poľom E a magnetickým poľom B nachádzajúcim sa v elektromagnetizme. Ekvivalentné gravitačné riešenie elektromagnetického problému je možné dosiahnuť nahradením elektromagnetických konštánt nasledujúcimi gravitačnými konštántami.

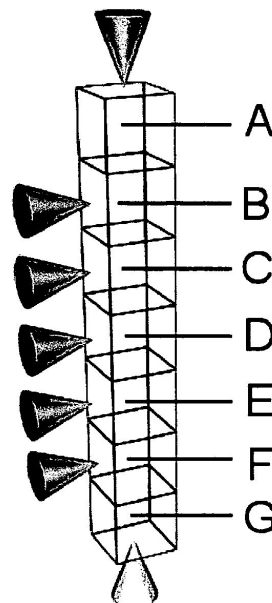
Electromagnetic	Gravitational
q (charge)	m (mass)
ρ (volume charge density)	ρ (volume mass density)
σ (surface charge density)	σ (surface mass density)
λ (line charge density)	λ (line mass density)
J (convection current density)	J (mass current density)

Electromagnetic	Gravitational
E (electric field)	g (gravitational field)
B (magnetic field)	K (co-gravitational field)
ϵ_0 (permittivity of space)	$-1/4\pi G$
μ_0 (permeability of space)	$-4\pi G/c^2$
$-1/4\pi\epsilon_0$ or $-\mu_0 c^2/4\pi$	G (gravitational constant)

[0009]

Odkazujúc na Obr. 5, každý vír je spojený cez šišinkovú žľazu pomocou ľahkých šnúr k samostatnému hyperprostorovému kvantu, ktoré má svoju vlastnú frekvenciu a rozmer.

Figure 5



Dôvodom tejto separácie je to, že kónické duchovné oko, pripojené k víru B, musí mať svoju vlastnú štruktúru energie, ktorá sa líši od víra (A), ktorý je spojený s kvantovým energetickým poľom, v ktorom sa vyvíjajú mentálne procesy. Kvôli vysokej rýchlosti svetla v našej dimenzii sú kvantové jamky veľkosťou vhodnou pre molekuly a atómy. V hyperpriestore, kde je rýchlosť svetla jeden meter za sekundu, sú kvantové vrty obrovské a je možné s nimi manipulovať. Táto manipulácia ukázala, že kvantové jamky majú tvar kocky asi

meter na jednej strane. Vďaka tomu je celá konštrukcia vysoká asi sedem metrov na objem sedem metrov kubických.

$$\rho_h = \frac{.071 \text{ kg}}{7 \text{ m}^3} = .01 \frac{\text{kg}}{\text{m}^3}$$

ktorá na jednotku plochy je rovnaká hodnota.

Preto je gravitačná konštanta hyperpriestoru rovná G

$$G_h = \frac{c^2}{\Omega_h} = \frac{\left(1 \frac{\text{m}}{\text{s}}\right)^2}{.01 \text{ kg/m}} = 100 \frac{\text{m}^3}{\text{kg s}^2}$$

Obrovské zväčšenie gravitačnej konštanty je preto rádovo

$$\frac{G_h}{G} = \frac{100}{6.6732 \cdot 10^{-11}} \approx 1.5 \cdot 10^{12}$$

Otázkou je, ako sa táto zosilnená gravitačná vlna vytvorená rotujúcimi vrtúľami a turbínami dostane do hyperpriestoru z našej dimenzie?

[0010]

Odpoveď pochádza z experimentov uskutočňovaných pomocou starodávnej čínskej formy dýchania známej ako Chi Kung. Pomocou tejto dychovej techniky sme boli schopní levitovať človeka **telo** viac ako šesť stôp vo vzduchu. Vnútorňá teplota žalúdka je okolo 200 stupňov Fahrenheita. Súčasným stláčaním membrány na privádzanie horúceho vzduchu do pľúc a dýchaním nosom na privádzanie studeného vzduchu sa v pľúcnych priechodoch vytvárajú rotujúce víry, keď sa tieto dve vzduchové masy stretávajú a krúčia okolo seba, ako je znázornené v známom Jin-Jangový diagram. Pretože pľúca majú priechody s premenlivým priemerom od veľkého priemeru v hrdle po konečné malé vzduchové vaky, existuje spektrum rotačných frekvencií.

[0011]

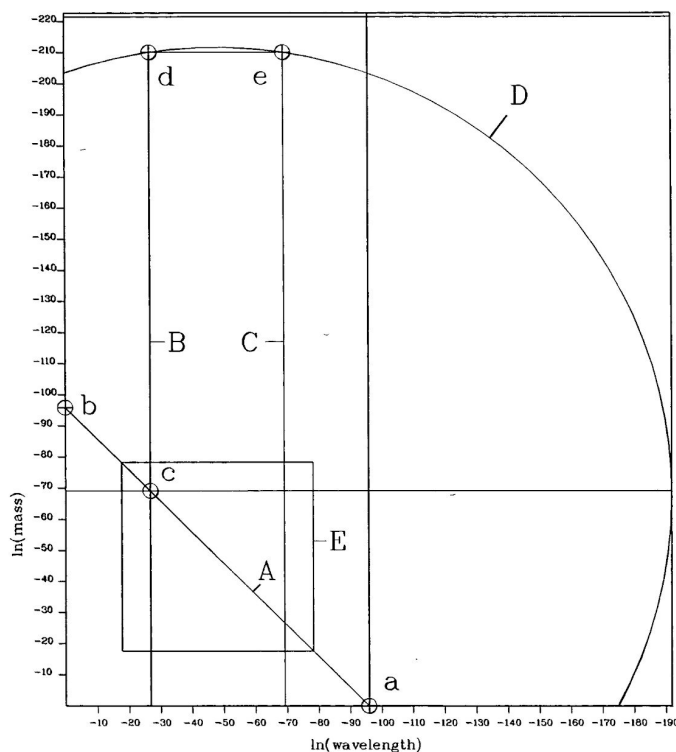
Z kvantovej fyziky je známe, že ak nastane kolísanie teploty medzi skupinou harmonických oscilátorov v prostredí, potom Planckova znížená konštanta \hbar je zväčšený koeficientom konštantných časov, ako je frekvencia ω oscilátora delená dvojnásobnou Boltzmannovou konštantou k násobkom teploty

$$\hbar = \hbar \coth\left(\frac{\hbar\omega_n}{2kT}\right)$$

[0012]

Účinok zvyšovania Planckovej konštanty, s odkazom na Obr. 6, je možné vidieť na tetraedrickom diagrame. Tento diagram, ktorého je v súčasnosti viac ako 4 000, vykresľuje prirodzený logaritmus hmotnosti na vertikálnej osi v porovnaní s prirodzeným logaritmom vlnovej dĺžky na horizontálnej osi.

Figure 6



Pokiaľ ide o matematiku, je to Subspace logaritmické potrubia, ktoré vyčnieva geometricky fyzika konštanty do nášho 4 D dimenzie časopriestoru. To znamená, že hmotnosť protónu a elektrónu určuje geometria štvorstena ohraničeného guľou. Hmotnosť elektrónu vynásobená jeho vlnovou dĺžkou sa rovná hmotnosti protónu vynásobenej jeho vlnovou dĺžkou, ktorá sa zase rovná Planckovej konštante h vydelenej rýchlosťou svetla

$$m_e \lambda_e = m_p \lambda_p = \frac{h}{c}$$

Ak vezmeme prirodzený logaritmus vyššie uvedenej rovnice, ukazuje, že hmotnosť plus vlnová dĺžka sa rovná tomu, čo sa nazýva základná konštantá.

$$\ln(m_e) + \ln(\lambda_e) = \ln\left(\frac{h}{c}\right) = -95.91546344$$

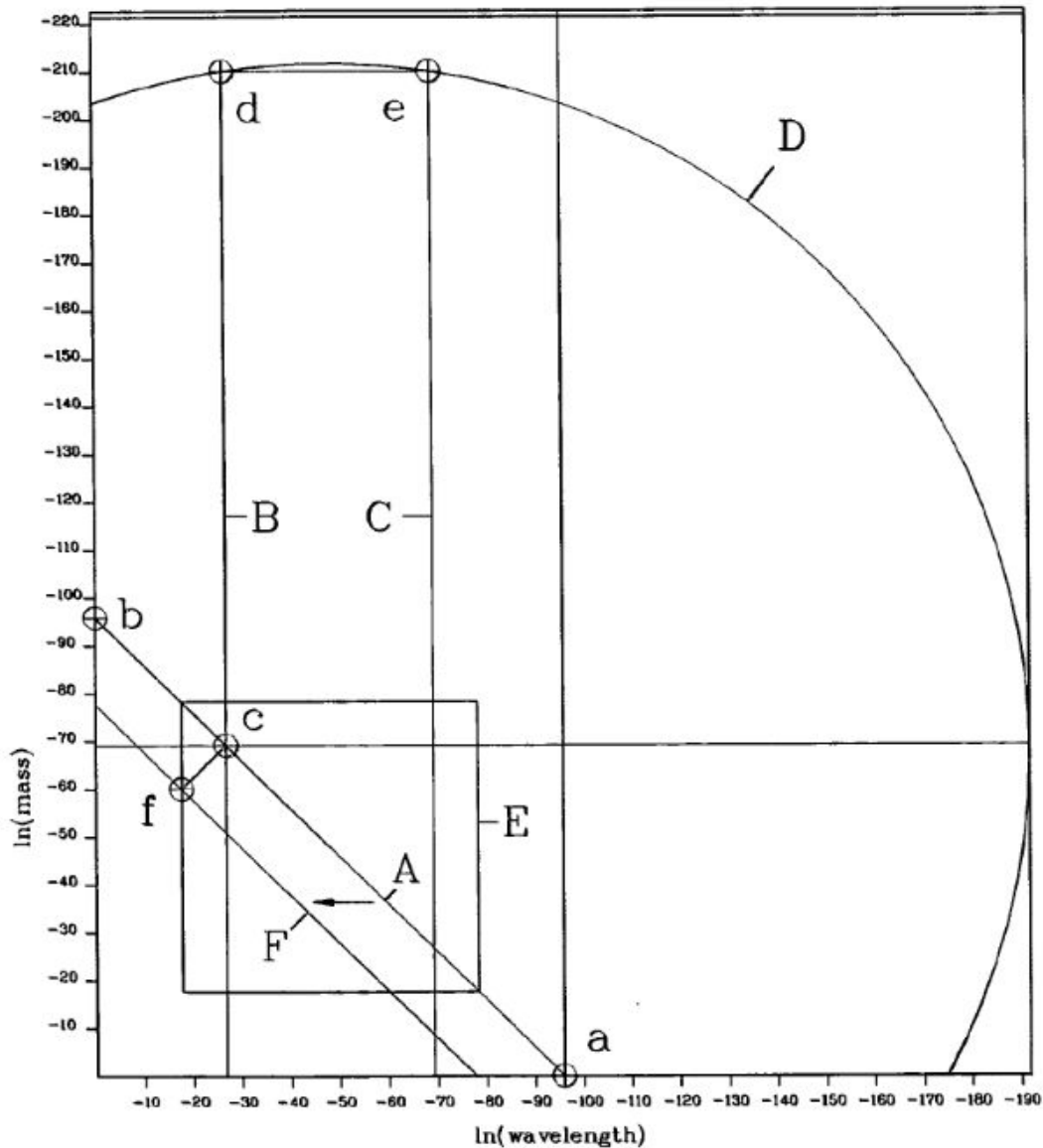
ktorá je zastúpená v Obr. 6o 45 stupňov (A) z bodu (a) na horizontálnej osi do zvislej osi v bode (b). Elektrón sa nachádza v bode (c), ktorý je priesečníkom vlnovej dĺžky elektrónu (B) s čiarou (A). Vlnová dĺžka elektrónu (B) odráža guľu (D) v bodoch (d) a (e) a vracia sa pozdĺž čiar (C) ako hmotnosť elektrónu. Ako je znázornené na tetraedrickom diagrame tet 0565, uloženom v Kongresovej knižnici, dráha elektrónov v smere hodinových ručičiek prechádza do protónovej dráhy protónu, čo ukazuje, že elektrón a protón sú jedna a tá istá častica. Pretože elektrón a protón sa pohybujú v opačných smeroch pozdĺž cesty, majú rovnaký náboj, ale opačný znak.

[0013]

Naša dimenzia predstavuje Planckov box (E), ktorý je ohraničený Planckovou hmotnosťou a Planckovou vlnovou dĺžkou. Planckova hmotnosť sa rovná lineárnej hmotnosti vesmíru krát Planckovej dĺžke, ktorá je dolnou hranicou našej dimenzie. Vlnová dĺžka Planck je 2-násobok dĺžky Planck. Všimnite si, že elektrón je umiestnený v rámčeku Planck.

[0014]

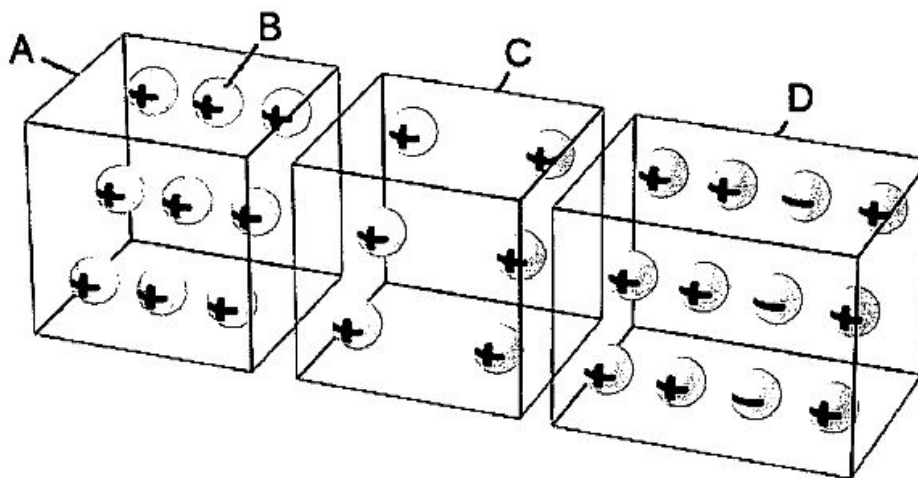
Odkazujúc na Obr. 7, ak dôjde k zvýšeniu Planckovej konštanty v dôsledku kolísania teploty medzi harmonickými oscilátormi, 45-stupňová základná čiara (A) sa posunie vľavo na tetraedrickom diagrame, ako je znázornené čiarou (F). V dôsledku zvýšenia základnej konštanty dochádza k zodpovedajúcemu zvýšeniu hmotnosti elektrónov a vlnovej dĺžky. Elektrón sa pohybuje z bodu c) do bodu f), ktorý ho umiestni na okraj Planckovej skrinky (F), ktorá je hranicou medzi priestorom a hyperpriestorom. V bode (f) už nie je elektrón v našej dimenzii.



[0015]

Odkazujúc na Obr. 8, predstavte si škatuľu (A) naplnenú deviatimi elektrónovými oscilátormi (B). Ak sa Planckova konštanta zvýši blízko troch oscilátorov v strede, tieto elektróny opustia túto dimenziu.

Figure 8



Takto zostane šesť oscilátorov, ako je znázornené v rámečku (C). Kolónka (C) je však ekvivalentom kolónky (D), v ktorej stále existuje deväť kladných hmotnostných oscilátorov spolu s 3 zápornými hmotnostnými oscilátormi. Ak dôjde k strate informácií z prostredia do inej dimenzie, dochádza k akumulácii negatívnej energie ($-\rho$).

[0016]

Kip Thorne, ktorý je spoluautorom knihy *Gravitácia* s Dr. Archibaldom Wheelerom z Princetonskej univerzity, preukázal vo výpočte časopriestoru zakrivenia všeobecnej relativity, že na otvorenie a stabilizáciu hrdla červie diery medzi vesmírom a hyperpriestorom je potrebná negatívna energia.

Hromadenie negatívnej energie vo vyššie uvedenom príklade vytvára medzery v hyperprostore. Hyperpriestor má nízku hustotu energie z dôvodu zníženej rýchlosti svetla v tejto dimenzii. Energia by obvykle nepretekala z hyperpriestoru do vesmíru, pretože vesmír má vyšší potenciál ako potenciál hyperpriestoru. Toto je samozrejme dôvod, prečo telo víry môžu prúdiť energiu do energetického poľa človeka, ktorý sa nachádza v hyperpriestore. Vytvorením negatívnej energie sa potenciál obráti tak, že energia

hyperpriestoru s nízkou hustotou prúdi do našej dimenzie, ako je vidieť z pozitívnej hlavy

$$PE = \rho_{\text{hyperspace}} - (-\rho_{\text{space}}) = +2\rho$$

Energia s nízkou hustotou zaplňa **telo** ktorá umožňuje človeku vznášať sa nahor ako hélión, ako sa overuje dýchaním Chi Kungom, ako aj otáčaním na motorizovanej platforme známej ako urýchľovač čakier Vortex. Posledne uvedené zariadenie viedlo k prvým mechanickým prostriedkom na výrobu antigravitácie.

[0017]

Proces vytvárania zvlákňovacích tepelných výkyvov je rovnaký ako v prípade horúcovzdušných vírov vytvorených prúdovými lietadlami pristávajúcimi na letisku pri ceste, kde **plne-telo teleportácie** došlo. Veľké krídla sa vytvárajú cez krídlo lietadla súčasne s tým, že turbínové motory premieňajú horúce víry na relatívne studený vzduch. Tieto podmienky vytvárajú priepasti medzi vesmírom a hyperpriestorom. Trvá dvojmotorové turbovrtuľové lietadlo pristávajúce za prúdom, aby sa vytvorila gravitačná vlna v oblasti, kde sa vytvorili červie diery. Gravitačná vlna potom prechádza červími dierami do hyperpriestoru a stáva sa vysoko zosilnená v dôsledku zmeny v lineárnej hmotnosti a rýchlosti svetla. Pretože lopatky vrtule sú ko-lineárne s vozovkou, gravitačná vlna sa pohybuje v smere pozdĺž cesty, na ktorú sa vynálezca stretol.

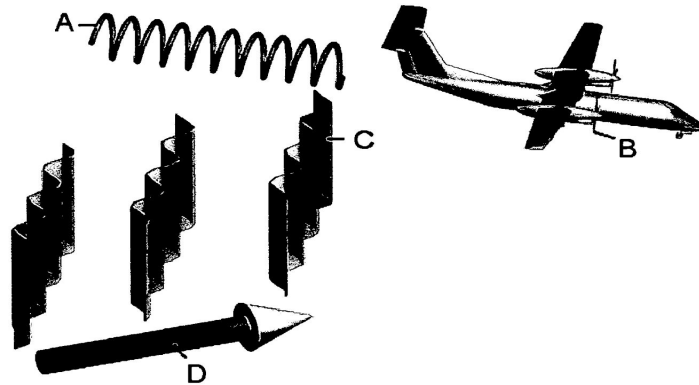
[0018]

Z experimentov s kavitujúcimi bublinami (pozri patentovú prihlášku generátora energie hyperprostorového oleja z hyperprostorov) sa zistilo, že je možné vyrobiť červiu dieru, ak sa povrchy bubliny asymetricky zrúti. Symetrický kolaps sférickej bubliny spôsobuje obrovské deformácie zakrivenia priestoročasu. Asymetrický kolaps využívajúci magnetické pole na skreslenie kolapsu, vytvára, okrem rovnakých skreslení priestoročasu, negatívnu energiu, ako sa bublina zrúti. Kvôli niektorým úvahám o všeobecnej relativite sa červí diera, ktorá sa vytvára, začne rotovať podobným spôsobom ako majákové svetlo produkované majákom.

[0019]

Odkazujúc na Obr. 9V dôsledku špirálového pohybu (A) vrtule (B) smerom dopredu, keď letún križuje cestu, je pulzovaná gravitačná vlna (C) sklonená dozadu pod uhlom (D).

Figure 9

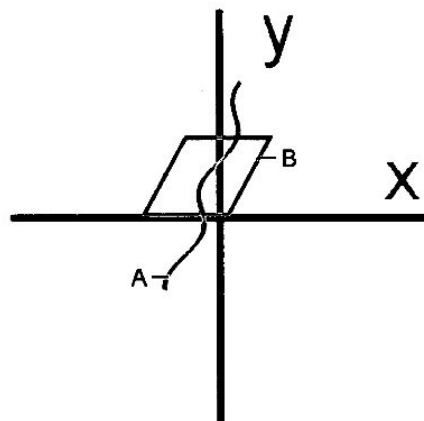


Kvôli červím dierkam vytvoreným prítomnosťou kolísania tepelnej vírivosti generovaného krídlom a turbínami lietadla sa táto zošikmená vlna presunie do hyperpriestoru, kde je vynálezcom vysoko zväčšená a detekovaná.

[0020]

S odkazom na pohľad zhora Obr. 10, gravitačná vlna (A) spôsobuje skreslenú kompresiu a expanziu kvantových studní hyperpriestoru (B), ktoré tvoria ľudskú energiu.

Figure 10



Kvôli tomuto asymetrickému skresleniu v rovine xy kvantové jamky odoberú fyzikálne **telo** z dimenzie, pokiaľ vlnový pulz putuje s ľudským energetickým poľom. Akonáhle sa zadný okraj gravitačnej vlny pohybuje okolo kvantových jamiek, **telo** sa potom opäť uvedie do dimenzie.

ZHRNUTIE VYNÁLEZU

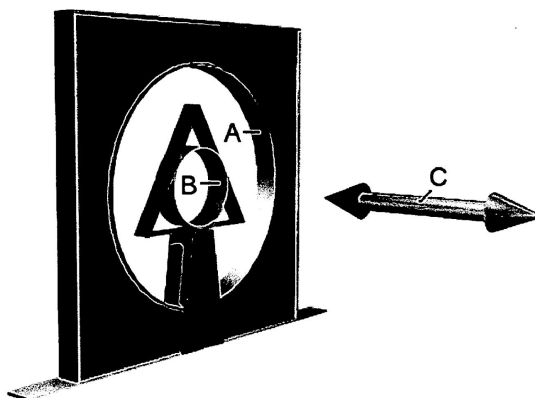
[0021]

Cieľom tohto vynálezu je teleportovať človeka z jedného miesta na druhé vytvorením pulznej gravitačnej vlny prechádzajúcej hyperpriestorom, ktorý asymetricky komprimuje a rozširuje kvantové jamky ľudskej energie. Toto skreslenie časopriestoru zakrivenia kvantových jamiek hyperpriestoru ťahá fyzické **telo** z dimenzie tak, že ľudská bytosť je teleportovaná spolu s vlnou. Keď sa pulzná vlna pohybuje okolo kvantových studní, človek sa na určitom vzdialenom mieste privedie späť do dimenzie. Vynález vyžaduje (1) zariadenie, ktoré bude generovať červiu dieru medzi priestorom a hyperpriestorom, a (2) zariadenie, ktoré bude generovať gravitačnú vlnu, ktorú je možné cez červiu dieru vložiť.

[0022]

Odkazujúc na Obr. 11, už bol vyvinutý generátor červích dier s magnetickým vírom, ktorý vytvára medzeru a medzeru, ako je opísané v predchádzajúcej patentovej prihláške s názvom Generátor červencových červíkov.

Figure 11



Použitím tohto generátora sa zistilo, že dym fúkaný cez jednu stranu cievky sa neobjavuje na druhej strane valcovej cievky. Dym preteká červí dierou a objavuje sa v ko-dimenzii hyperpriestoru. To bol tento experiment, ktorý vyústil do prvého kontaktu s androidmi sivých mimozemšťanov, ktorý mi na vzdialenej relácii sledovania povedal, že „videli sme, ako fúkaš dym do hyperpriestoru.“

[0023]

Generátor závitoviek pozostáva z dvoch sústredných valcovitých cievok (A, B), z ktorých jedna je väčšia ako druhá a ktorá je vyrobená z tenkého laminátu transformátorového železa obaleného v opačných smeroch jedným kontinuálnym drôtom poháňaným sínusovým prúdom.

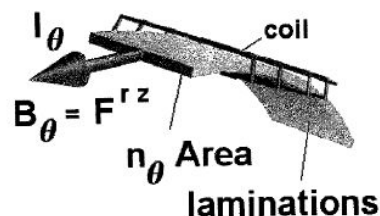
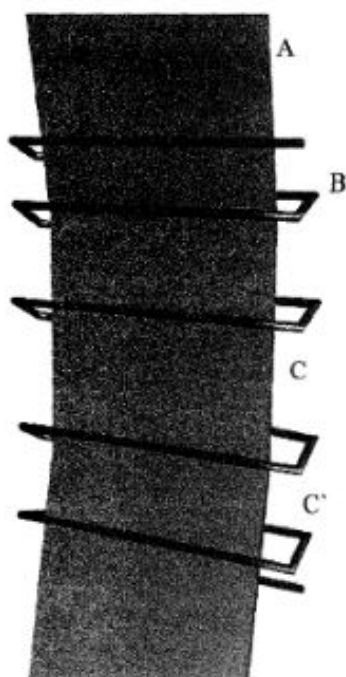


Figure 6

$$F^{uv} = \begin{pmatrix} t & r & \theta & z \\ 0 & 0 & 0 & 0 \\ 0 & 0 & 0 & B_\theta \\ 0 & 0 & 0 & 0 \\ 0 & -B_\theta & 0 & 0 \end{pmatrix}$$

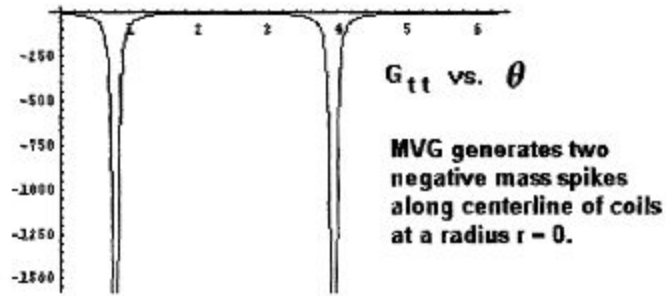
Figure 7

$$k^z = \frac{\text{coul}}{\text{sec}} \cdot \frac{\text{m}^2}{\text{m}^2} \cdot \frac{1}{\text{m}^2} \cdot \frac{\text{kg}}{\text{sec} \cdot \text{coul}} = \frac{\text{newton}}{\text{m}} = \frac{\text{force}}{\text{m}}$$

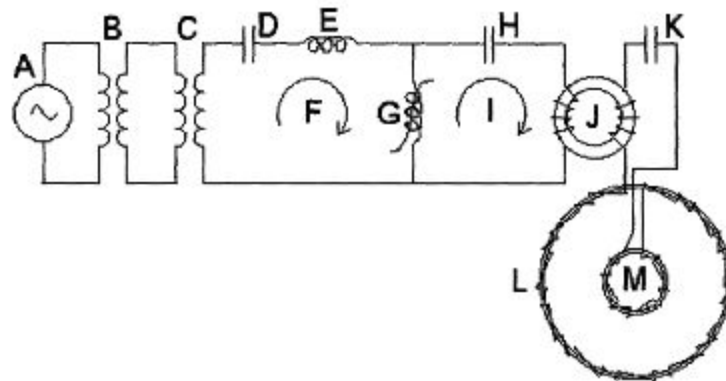
Figure 8

$$k^z = \frac{1}{(r+a)^2} - \frac{1}{r^2} = -a \frac{(2 \cdot r + a)}{[(r+a)^2 \cdot r^2]}$$

Solenoidálna cievka vytvára cez laminát magnetické pole. Pretože elektrický prúd tečie opačnými smermi v rôznych polomeroch cez dve vinutia, vytvárajú sa vzperné elektrické polia (C) pozdĺž stredovej osi generátora.



Tieto radiálne posunuté magnetické polia a vybúrané elektrické polia, ako to ukazuje výpočet s použitím Einsteinovej všeobecnej teórie relativity, vytvárajú tak obrovskú špičkovú časopriestorovú krivosť, ako aj zápornú energiu v malom polomere pozdĺž stredovej čiary, kde sa tvorí červia diera.

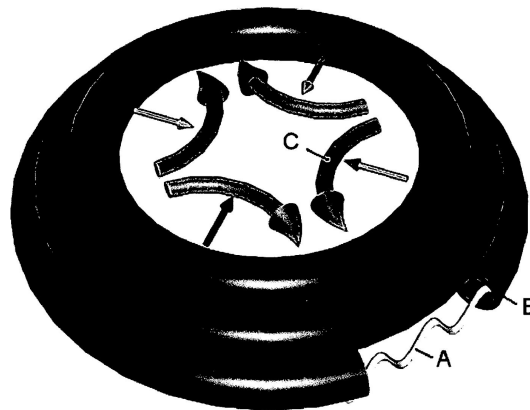


Generátor gravitačnej vlny je potom spojený s týmto generátorom červích dier.

[0024]

Odkazujúc na Obr. 12. Z fyziky gravitácie je známe, že vstrekovanie elektromagnetickej vlny (A) do dutého toroidného vlnovodu (B) vytvára v rovine vlnovodu hyperbolické napätie (C) zakrivenia priestorového času. Špičky šípok označujú kompresiu a chvost šípok označuje rozširovanie alebo predlžovanie časopriestoru.

Figure 12

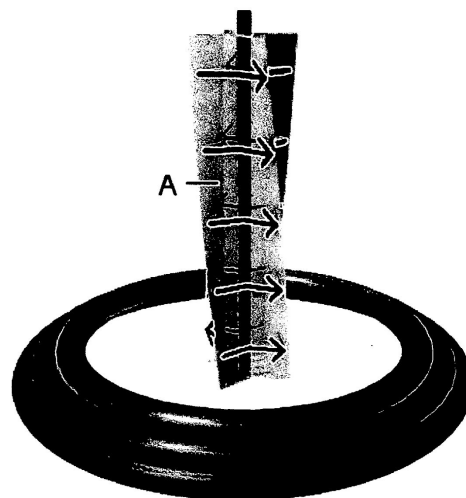


Dôvodom tohto časopriestoru je to, že vlnovod núti elektromagnetickú vlnu zakriviť sa a pohybovať sa v kruhu. Spacetime musí kompenzovať toto toroidne generované napätie vytvorením hyperbolických línií napätia vo vnútornej rovine toroidu tak, že celkové zakrivenie priestoročasu je nula. Na dosiahnutie väčšieho gravitačného účinku sa na utesnenie zakrivenia používajú tri toroidné vlnovody, odstupňované 120 stupňov od seba.

[0025]

Odkazujúc na Obr. 13, tri toroidy vytvárajú rotujúce, krútiace sa vertikálne šíriace sa gravitačné pole (A) cez stredovú čiaru toroidov za predpokladu, že perióda elektromagnetickej vlny je dvojnásobkom periódy gravitačnej vlny.

Figure 13

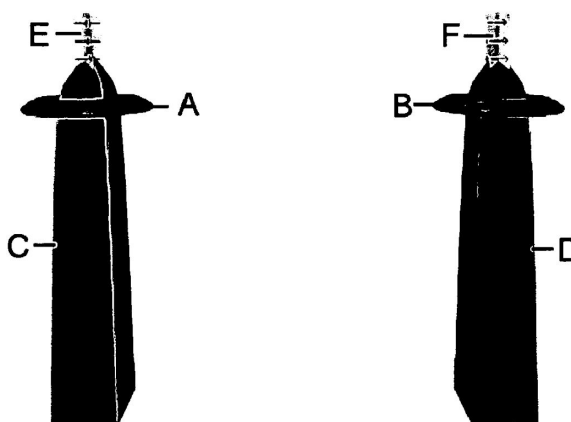


Tento fázový vzťah je nastavený výberom správneho polomeru pre frekvenciu monochromatickej vlny.

[0026]

S cieľom účinne využívať túto gravitačnú vlnu, pozri Obr. 14, tri fázové toroidné vlnovody (A, B) sú namontované v hornej časti každého z dvoch identických štvorcových žulových obeliskov (C, D).

Figure 14

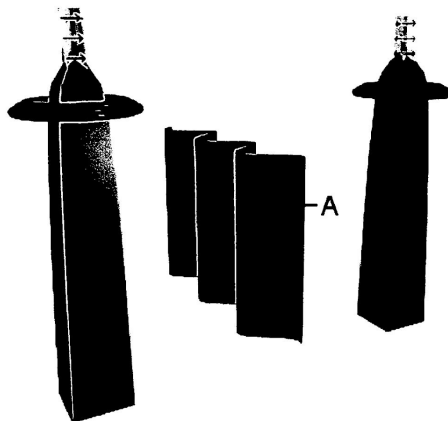


Dva obelisky sú kompenzované krátkou vzdialenosťou medzi nimi. Keď sa vertikálna gravitačná vlna otáča okolo zvislej osi vnútri obelisku, okraje štvorcových obeliskov sa stlačia a rozťahnu tak, aby vytvorili dve valcové asymetrické gravitačné vlny, ktoré sa radiálne pohybujú smerom von.

[0027]

Odkazujúc na Obr. 15, tieto vlny sa stretnú a vytvoria rovinnú gravitačnú vlnu (A), ktorá putuje po stredovej línii medzi dvoma obeliskami.

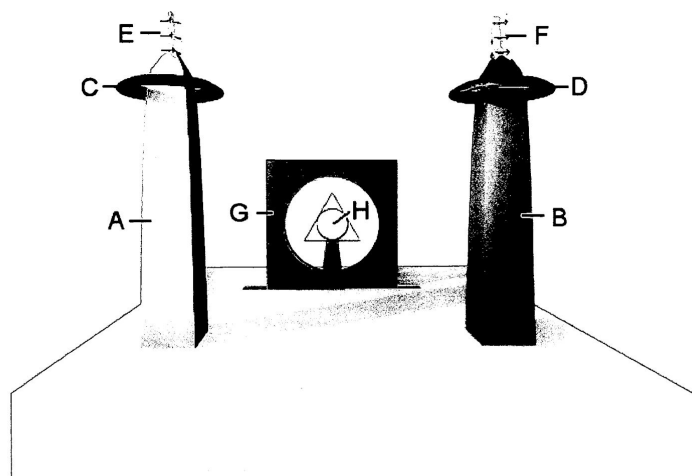
Figure 15



[0028]

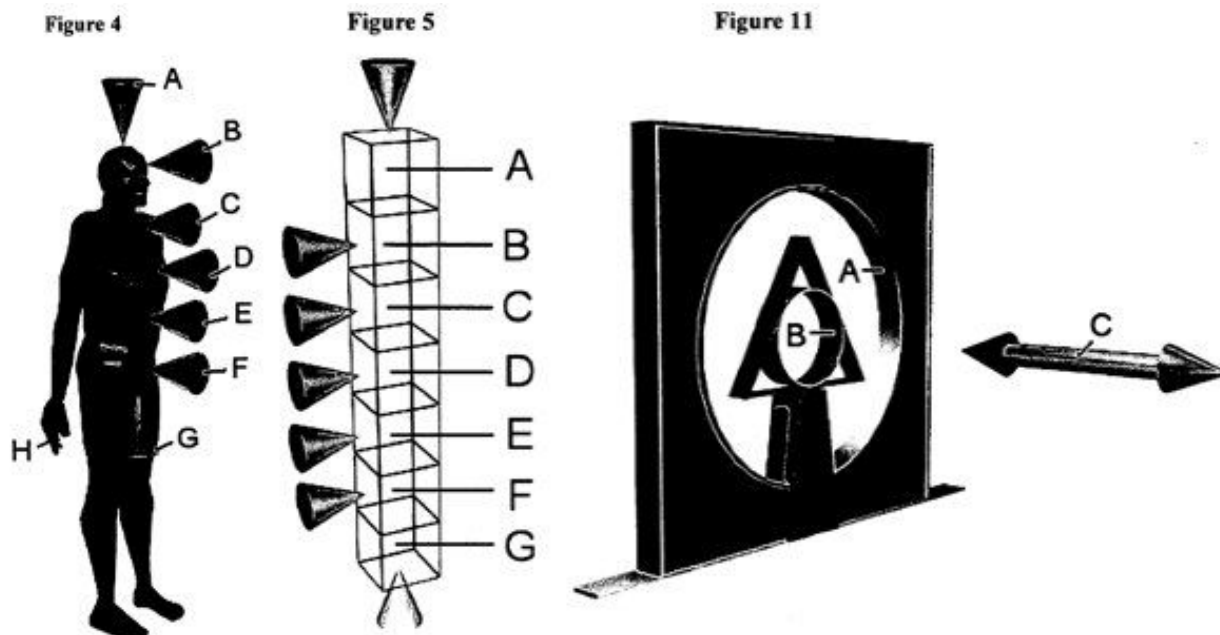
Odkazujúc na Obr. 16, plne telo teleportácie systém pozostáva z dvojitých žulových obeliskov (A, B), na ktorých sú namontované blízko vrchu každého z toroidných vlnovodov (C, D), ktoré vytvárajú impulzné gravitačné vlny (E, F), ktoré prechádzajú dĺžkou obeliskov.

Figure 16



Pretože gravitačná vlna rotuje vo vnútri obelisku, žulový kameň podlieha veľmi malej asymetrickej kompresii a expanzii. Z každého obelisku sa šíri valcová gravitačná vlna tak, že pozdĺž stredovej čiary medzi nimi je generovaná rovinná

gravitačná vlna. Táto vlna vstupuje do červej diery (H) vytvorenej generátorom magnetického víru, ktorý je umiestnený v krátkej vzdialenosti od obeliskov a rovnobežne s nimi. Vlna je zosilnená faktorom takmer 10^{13} , keď vstúpi do ko-dimenzie hyperpriestoru.



STRUČNÝ OPIS VÝKRESOV

[0029]

Obr. 1, Perspektívny pohľad na miesto, kde plne-telo teleportácie došlo.

[0030]

Obr. 2, Perspektívny pohľad na generátor gravitačných vln.

[0031]

Obr. 3, Pôdorys generátora gravitačnej vlny.

[0032]

Obr. 4, Perspektívny pohľad na sedem vírov ľudskej energie.

[0033]

Obr. 5, Perspektívny pohľad na sedem veľkých kvantových vrtov ľudskej energie.

[0034]

Obr. 6, Tetrahedronový diagram ukazujúci Planckovu konštantu a elektrón.

[0035]

Obr. 7, Tetrahedronový diagram ukazujúci pohyb elektrónu mimo dimenzie.

[0036]

Obr. 8, Perspektívny pohľad znázorňujúci výrobu negatívnej energie.

[0037]

Obr. 9, Perspektívny pohľad na skosenú gravitačnú vlnu produkovanú vrtulkami.

[0038]

Obr. 10, Rovinný pohľad na zošikmené kvantové vrty deformované gravitačnou vlnou.

[0039]

Obr. 11, Perspektívny pohľad na generátor červej diery s magnetickým vírom.

[0040]

Obr. 12, Perspektívny pohľad na hyperbolické línie napätia generované toroidným vlnovodom.

[0041]

Obr. 13, Perspektívny pohľad na rotujúce, skrútené a množiace sa gravitačné vlny generované toroidnými vlnovodmi.

[0042]

Obr. 14, Perspektívny pohľad na toroidné vlnovody pripojené k obeliskom.

[0043]

Obr. 15, Perspektívny pohľad na gravitačnú vlnu generovanú obeliskami.

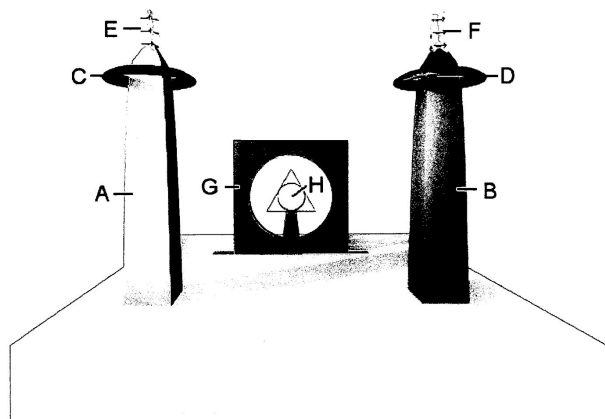
[0044]

Obr. 16, Perspektívny pohľad na generátor červí diery s magnetickým vírom a generátor gravitačnej vlny obelisk.

PODROBNÝ OPIS VYNÁLEZU

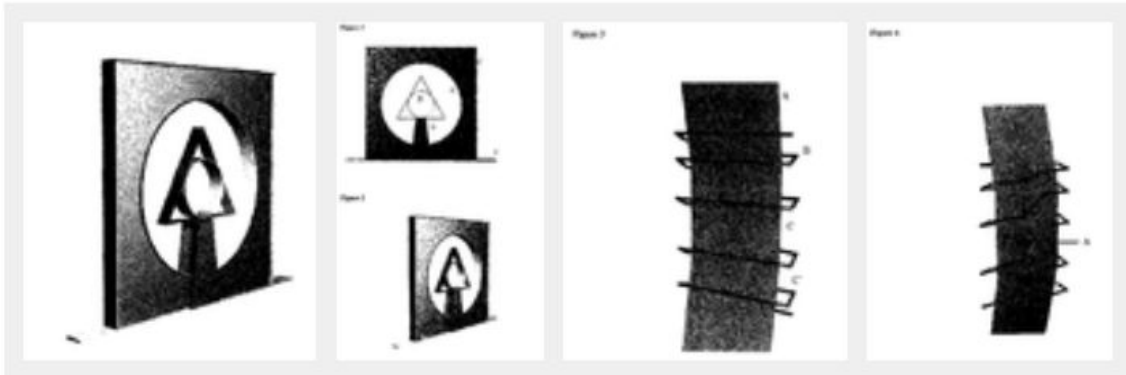
1. Obelisky sa ťažia z žulového kameňa a rezajú sa diamantovou pílou s veľkým priemerom, ktorá sa používa pri výstavbe diaľnice.

Figure 16

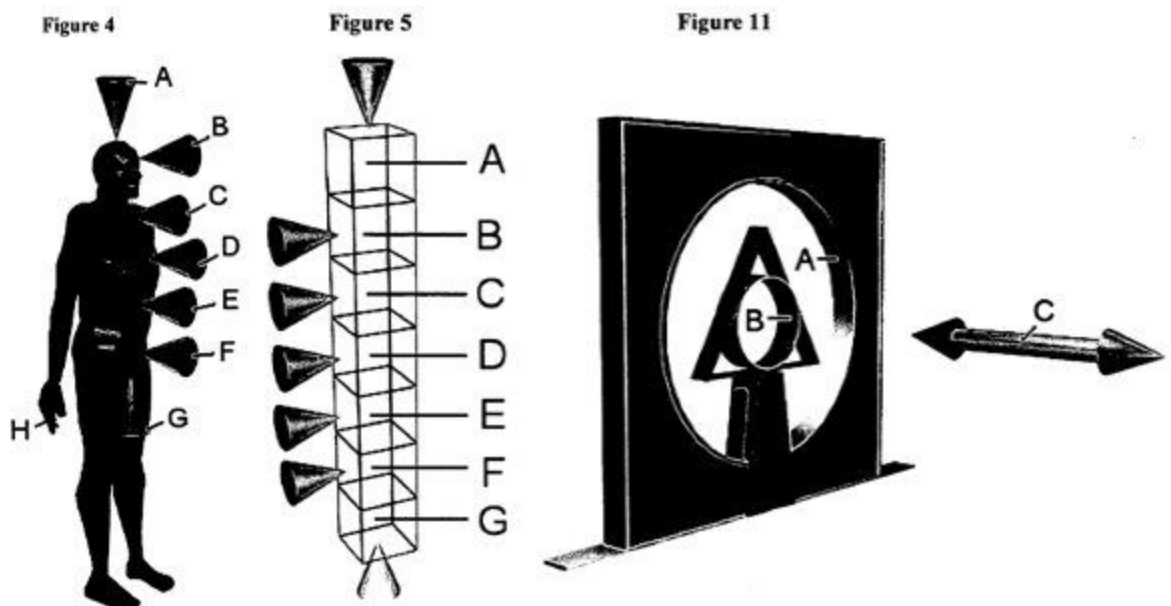


Skosený kus v hornej časti je narezaný samostatne a stmelený na mieste. Toroidy držia na svojom mieste zužujúca sa hliníková konzola.

2. Elektronika pre generátor magnetických vírov je podobná elektronike použitej v patentovej prihláške [Magnetic Vortex Wormhole Generator](#).



3. Elektronika pre toroidné vlnovody je známy poveterný a koaxiálny kábel poháňaný zosilňovačom a pulzným generátorom premenlivej frekvencie.



source from: <https://patents.google.com/patent/US20060071122A1/en>